

## 第五章 擾動力與參數之間的偏微方程

在第四章中已經概略敘述各項擾動力方程其相對應的變數方程，現將針對變數方程中每項偏微的相關矩陣，進行詳細求解。

### 5-1 非球體擾動力

在(4-7)式中，要解得慣性座標下非球體擾動加速度對衛星位置的偏微，必須先解得地固座標下非球體擾動加速度對衛星位置的偏微，再行座標轉換得之。將地固座標下非球體擾動加速度對衛星位置的偏微表示為(GSFC, 1989)，

$$\begin{aligned} \frac{\partial \ddot{\mathbf{R}}_{\text{NS}}^b}{\partial \mathbf{r}_b^T} = & \left( \frac{\partial r}{\partial \mathbf{r}_b} \right)^T \frac{\partial}{\partial \mathbf{r}_b^T} \left( \frac{\partial \psi}{\partial r} \right) + \left( \frac{\partial \phi}{\partial \mathbf{r}_b} \right)^T \frac{\partial}{\partial \mathbf{r}_b^T} \left( \frac{\partial \psi}{\partial \phi} \right) + \left( \frac{\partial \lambda}{\partial \mathbf{r}_b} \right)^T \frac{\partial}{\partial \mathbf{r}_b^T} \left( \frac{\partial \psi}{\partial \lambda} \right) \\ & + \frac{\partial \psi}{\partial r} \left( \frac{\partial^2 r}{\partial \mathbf{r}_b^2} \right) + \frac{\partial \psi}{\partial \phi} \left( \frac{\partial^2 \phi}{\partial \mathbf{r}_b^2} \right) + \frac{\partial \psi}{\partial \lambda} \left( \frac{\partial^2 \lambda}{\partial \mathbf{r}_b^2} \right) \end{aligned} \quad (5-1)$$

其中，

$$\frac{\partial}{\partial \mathbf{r}_b^T} \begin{bmatrix} \frac{\partial \psi}{\partial r} \\ \frac{\partial \psi}{\partial \phi} \\ \frac{\partial \psi}{\partial \lambda} \end{bmatrix} = \begin{bmatrix} \frac{\partial^2 \psi}{\partial r^2} & \frac{\partial^2 \psi}{\partial r \partial \phi} & \frac{\partial^2 \psi}{\partial r \partial \lambda} \\ \frac{\partial^2 \psi}{\partial \phi \partial r} & \frac{\partial^2 \psi}{\partial \phi^2} & \frac{\partial^2 \psi}{\partial \phi \partial \lambda} \\ \frac{\partial^2 \psi}{\partial \lambda \partial r} & \frac{\partial^2 \psi}{\partial \lambda \partial \phi} & \frac{\partial^2 \psi}{\partial \lambda^2} \end{bmatrix} \cdot \begin{bmatrix} \frac{\partial r}{\partial \mathbf{r}_b^T} \\ \frac{\partial \phi}{\partial \mathbf{r}_b^T} \\ \frac{\partial \lambda}{\partial \mathbf{r}_b^T} \end{bmatrix} \quad (5-2)$$

將(5-2)式代入(5-1)式，重新整理可得：

$$\frac{\partial \ddot{\mathbf{R}}_{\text{NS}}^b}{\partial \mathbf{r}_b^T} = \begin{bmatrix} \frac{\partial r}{\partial \mathbf{r}_b^T} \\ \frac{\partial \phi}{\partial \mathbf{r}_b^T} \\ \frac{\partial \lambda}{\partial \mathbf{r}_b^T} \end{bmatrix}^T \cdot \begin{bmatrix} \frac{\partial^2 \psi}{\partial r^2} & \frac{\partial^2 \psi}{\partial r \partial \phi} & \frac{\partial^2 \psi}{\partial r \partial \lambda} \\ \frac{\partial^2 \psi}{\partial \phi \partial r} & \frac{\partial^2 \psi}{\partial \phi^2} & \frac{\partial^2 \psi}{\partial \phi \partial \lambda} \\ \frac{\partial^2 \psi}{\partial \lambda \partial r} & \frac{\partial^2 \psi}{\partial \lambda \partial \phi} & \frac{\partial^2 \psi}{\partial \lambda^2} \end{bmatrix} \cdot \begin{bmatrix} \frac{\partial r}{\partial \mathbf{r}_b^T} \\ \frac{\partial \phi}{\partial \mathbf{r}_b^T} \\ \frac{\partial \lambda}{\partial \mathbf{r}_b^T} \end{bmatrix} \quad (5-3)$$

其中，非球體擾動位對地固座標系的  $(r, \phi, \lambda)$  一次偏微分：

$$\frac{\partial \psi}{\partial r} = -\frac{1}{r} \frac{\mu}{r} \sum_{n=2}^{\infty} \left( \frac{R_e}{r} \right)^n (n+1) \sum_{m=0}^n (C_n^m \cos m\lambda + S_n^m \sin m\lambda) \cdot P_n^m(\sin \phi) \quad (5-4)$$

$$\frac{\partial \psi}{\partial \phi} = \frac{\mu}{r} \sum_{n=2}^{\infty} \left( \frac{R_e}{r} \right)^n \sum_{m=0}^n (C_n^m \cos m\lambda + S_n^m \sin m\lambda) \times \{P_n^{m+1}(\sin \phi) - m \tan \phi \cdot P_n^m(\sin \phi)\} \quad (5-5)$$

$$\frac{\partial \psi}{\partial \lambda} = \frac{\mu}{r} \sum_{n=2}^{\infty} \left( \frac{R_e}{r} \right)^n \sum_{m=0}^n m (S_n^m \cos m\lambda - C_n^m \sin m\lambda) \cdot P_n^m(\sin \phi) \quad (5-6)$$

非球體擾動位對地固座標系的  $(r, \phi, \lambda)$  二次偏微分：

$$\frac{\partial^2 \psi}{\partial r^2} = \frac{\mu}{r^3} \sum_{n=2}^{\infty} \left( \frac{R_e}{r} \right)^n (n+2)(n+1) \sum_{m=0}^n (C_n^m \cos m\lambda + S_n^m \sin m\lambda) \cdot P_n^m(\sin \phi) \quad (5-7)$$

$$\begin{aligned} \frac{\partial^2 \psi}{\partial r \partial \phi} &= \frac{\partial^2 \psi}{\partial \phi \partial r} \\ &= -\frac{\mu}{r^2} \sum_{n=2}^{\infty} \left( \frac{R_e}{r} \right)^n (n+2) \sum_{m=0}^n (C_n^m \cos m\lambda + S_n^m \sin m\lambda) \times [P_n^{m+1}(\sin \phi) - m \tan \phi \cdot P_n^m(\sin \phi)] \end{aligned} \quad (5-8)$$

$$\frac{\partial^2 \psi}{\partial r \partial \lambda} = \frac{\partial^2 \psi}{\partial \lambda \partial r} = -\frac{\mu}{r^2} \sum_{n=2}^{\infty} \left( \frac{R_e}{r} \right)^n (n+1) \sum_{m=0}^n m (S_n^m \sin m\lambda - C_n^m \cos m\lambda) P_n^m(\sin \phi) \quad (5-9)$$

$$\begin{aligned} \frac{\partial^2 \psi}{\partial \phi^2} &= \frac{\mu}{r} \sum_{n=2}^{\infty} \left( \frac{R_e}{r} \right)^n \sum_{m=0}^n (C_n^m \cos m\lambda + S_n^m \sin m\lambda) \times \{ \tan \phi \cdot P_n^{m+1}(\sin \phi) \\ &\quad + [m^2 \sec^2 \phi - m \tan^2 \phi - n(n+1)] \cdot P_n^m(\sin \phi) \} \end{aligned} \quad (5-10)$$

$$\frac{\partial^2 \psi}{\partial \phi \partial \lambda} = \frac{\partial^2 \psi}{\partial \lambda \partial \phi} = -\frac{\mu}{r} \sum_{n=2}^{\infty} \left( \frac{R_e}{r} \right)^n \sum_{m=0}^n m (S_n^m \sin m\lambda - C_n^m \cos m\lambda) (P_n^{m+1}(\sin \phi) - m \tan \phi \cdot P_n^m(\sin \phi)) \quad (5-11)$$

$$\frac{\partial^2 \psi}{\partial \lambda^2} = -\frac{\mu}{r} \sum_{n=2}^{\infty} \left( \frac{R_e}{r} \right)^n \sum_{m=0}^n m^2 (C_n^m \cos m\lambda + S_n^m \sin m\lambda) \cdot P_n^m(\sin \phi) \quad (5-12)$$

在 (5-1) 式中的  $\frac{\partial^2 r}{\partial \mathbf{r}_b^2}$ ,  $\frac{\partial^2 \phi}{\partial \mathbf{r}_b^2}$ ,  $\frac{\partial^2 \lambda}{\partial \mathbf{r}_b^2}$  可分別表示為：

$$\frac{\partial^2 r}{\partial \mathbf{r}_b^2} = \frac{1}{r} \left[ \mathbf{I} - \frac{\mathbf{r}_b \mathbf{r}_b^T}{r^2} \right] \quad (5-13)$$

$$\begin{aligned} \frac{\partial^2 \phi}{\partial \mathbf{r}_b^2} = & -\frac{1}{(x_b^2 + y_b^2)^{3/2}} \left[ \left( \frac{\partial c}{\partial \mathbf{r}_b^T} \right)^T - \frac{z_b \mathbf{r}_b}{r^2} \right] \left[ x_b \left( \frac{\partial x_b}{\partial \mathbf{r}_b^T} \right) + y_b \left( \frac{\partial y_b}{\partial \mathbf{r}_b^T} \right) \right] \\ & - \frac{1}{r^2 \sqrt{x_b^2 + y_b^2}} \left[ \mathbf{r}_b \left( \frac{\partial z_b}{\partial \mathbf{r}_b^T} \right) + z_b \mathbf{I} - \frac{2z_b}{r^2} \mathbf{r}_b \mathbf{r}_b^T \right] \end{aligned} \quad (5-14)$$

$$\frac{\partial^2 \lambda}{\partial \mathbf{r}_b^2} = -\frac{2}{(x_b^2 + y_b^2)^2} \begin{bmatrix} -y_b \\ x_b \\ 0 \end{bmatrix} \left[ x_b \left( \frac{\partial x_b}{\partial \mathbf{r}_b^T} \right) + y_b \left( \frac{\partial y_b}{\partial \mathbf{r}_b^T} \right) \right] + \frac{1}{(x_b^2 + y_b^2)} \begin{bmatrix} 0 & -1 & 0 \\ 1 & 0 & 0 \\ 0 & 0 & 0 \end{bmatrix} \quad (5-15)$$

同樣地，要解得在 (4-9) 式中慣性座標下非球體擾動加速度對球諧係數的偏微，必須先解得地固座標下非球體擾動加速度對球諧係數的偏微，再行座標轉換得之。將地固座標下非球體擾動加速度對球諧係數的偏微表示為 (GSFC, 1989)，

$$\frac{\partial \ddot{\mathbf{R}}_{NS}^b}{\partial \mathbf{C}_x} = \left( \frac{\partial r}{\partial \mathbf{r}_b} \right)^T \frac{\partial}{\partial \mathbf{C}_x} \left( \frac{\partial \psi}{\partial r} \right) + \left( \frac{\partial \phi}{\partial \mathbf{r}_b} \right)^T \frac{\partial}{\partial \mathbf{C}_x} \left( \frac{\partial \psi}{\partial \phi} \right) + \left( \frac{\partial \lambda}{\partial \mathbf{r}_b} \right)^T \frac{\partial}{\partial \mathbf{C}_x} \left( \frac{\partial \psi}{\partial \lambda} \right) \quad (5-16)$$

其中  $\mathbf{C}_x$  為含球諧係數  $C_{nm}, S_{nm}$  之向量。而  $\left( \frac{\partial \psi}{\partial r} \right)$ 、 $\left( \frac{\partial \psi}{\partial \phi} \right)$ 、 $\left( \frac{\partial \psi}{\partial \lambda} \right)$  對球諧係數的偏微為：

$$\frac{\partial}{\partial C_n^m} \begin{bmatrix} \frac{\partial \psi}{\partial r} \\ \frac{\partial \psi}{\partial \phi} \\ \frac{\partial \psi}{\partial \lambda} \end{bmatrix} = \frac{\mu}{r} \left( \frac{R_e}{r} \right)^n \begin{bmatrix} \frac{-1}{r} (n+1) \cdot \cos m\lambda \cdot P_n^m(\sin \phi) \\ \cos m\lambda (P_n^{m+1}(\sin \phi) - m \tan \phi \cdot P_n^m(\sin \phi)) \\ -m \cdot \sin m\lambda \cdot P_n^m(\sin \phi) \end{bmatrix} \quad (5-17)$$

$$= \begin{bmatrix} \frac{\partial^2 \psi}{\partial r \partial C_2^0} & \frac{\partial^2 \psi}{\partial r \partial C_2^1} & \cdots \\ \frac{\partial^2 \psi}{\partial \phi \partial C_2^0} & \frac{\partial^2 \psi}{\partial \phi \partial C_2^1} & \cdots \\ \frac{\partial^2 \psi}{\partial \lambda \partial C_2^0} & \frac{\partial^2 \psi}{\partial \lambda \partial C_2^1} & \cdots \end{bmatrix} = \begin{bmatrix} \frac{\partial^2 \psi}{\partial r \partial C_n^m} \\ \frac{\partial^2 \psi}{\partial \phi \partial C_n^m} \\ \frac{\partial^2 \psi}{\partial \lambda \partial C_n^m} \end{bmatrix}$$

$$\frac{\partial}{\partial S_n^m} \begin{bmatrix} \frac{\partial \psi}{\partial r} \\ \frac{\partial \psi}{\partial \phi} \\ \frac{\partial \psi}{\partial \lambda} \end{bmatrix} = \frac{\mu}{r} \left( \frac{R_e}{r} \right)^n \begin{bmatrix} \frac{-1}{r} (n+1) \cdot \sin m\lambda \cdot P_n^m(\sin \phi) \\ \sin m\lambda (P_n^{m+1}(\sin \phi) - m \tan \phi \cdot P_n^m(\sin \phi)) \\ m \cdot \cos m\lambda \cdot P_n^m(\sin \phi) \end{bmatrix} \quad (5-18)$$

$$= \begin{bmatrix} \frac{\partial^2 \psi}{\partial r \partial S_2^1} & \frac{\partial^2 \psi}{\partial r \partial S_2^2} & \cdots \\ \frac{\partial^2 \psi}{\partial \phi \partial S_2^1} & \frac{\partial^2 \psi}{\partial \phi \partial S_2^2} & \cdots \\ \frac{\partial^2 \psi}{\partial \lambda \partial S_2^1} & \frac{\partial^2 \psi}{\partial \lambda \partial S_2^2} & \cdots \end{bmatrix} = \begin{bmatrix} \frac{\partial^2 \psi}{\partial r \partial S_n^m} \\ \frac{\partial^2 \psi}{\partial \phi \partial S_n^m} \\ \frac{\partial^2 \psi}{\partial \lambda \partial S_n^m} \end{bmatrix}$$

將 (5-18)、(5-17) 式代入 (5-16) 式，重新整理可得：

$$\frac{\partial \ddot{\mathbf{R}}_{NS}^b}{\partial \mathbf{C}_X} = \begin{bmatrix} \frac{\partial r}{\partial x_b} & \frac{\partial \phi}{\partial x_b} & \frac{\partial \lambda}{\partial x_b} \\ \frac{\partial r}{\partial y_b} & \frac{\partial \phi}{\partial y_b} & \frac{\partial \lambda}{\partial y_b} \\ \frac{\partial r}{\partial z_b} & \frac{\partial \phi}{\partial z_b} & \frac{\partial \lambda}{\partial z_b} \end{bmatrix} \begin{bmatrix} \frac{\partial^2 \psi}{\partial r \partial \mathbf{C}_X} \\ \frac{\partial^2 \psi}{\partial \phi \partial \mathbf{C}_X} \\ \frac{\partial^2 \psi}{\partial \lambda \partial \mathbf{C}_X} \end{bmatrix} \quad (5-19)$$

$$= \begin{bmatrix} \Sigma \left( \frac{\partial^2 \psi}{\partial \mathbf{C}_X \partial x_b} \right) \\ \Sigma \left( \frac{\partial^2 \psi}{\partial \mathbf{C}_X \partial y_b} \right) \\ \Sigma \left( \frac{\partial^2 \psi}{\partial \mathbf{C}_X \partial z_b} \right) \end{bmatrix}$$

在衛星擾動理論中，引力位的展開所使用的是球諧係數  $C_{nm}$ ,  $S_{nm}$  以及締和勒證德函

數  $P_{nm}$ ，如公式 4-1。但在目前公布的球諧係數通常是為『正規化球諧係數 ( $\bar{C}_{nm}, \bar{S}_{nm}$ )』，配合完全正規化締和勒證德函數  $\bar{P}_{nm}$ ，則引力位的展開可以另外表示為 (NASA, 2004)：

$$V(r, \phi, \lambda) = \frac{GM_e}{r} + \frac{GM_e}{r} \left[ \sum_{n=2}^{N_{\max}} \left( \frac{R_e}{r} \right)^n \sum_{m=0}^n (\bar{C}_{nm} \cos m\lambda + \bar{S}_{nm} \sin m\lambda) \cdot \bar{P}_{nm}(\sin \phi) \right] \quad (5-20)$$

其中  $(r, \phi, \lambda)$ 、 $M_e$ 、 $R_e$ 、 $G$ 、 $N_{\max}$  定義請參見公式 4-1。

而正規化函數  $\bar{C}_{nm}, \bar{S}_{nm}, \bar{P}_{nm}$  與非正規化函數  $C_{nm}, S_{nm}, P_{nm}$  的關係為：

$$\left. \begin{array}{l} \bar{P}_{nm} = H_{nm} P_{nm} \\ C_{nm} = H_{nm} \bar{C}_{nm} \end{array} \right\} \Rightarrow \bar{C}_{nm} \bar{P}_{nm} = C_{nm} P_{nm} \quad (5-21)$$

$$\text{其中, } H_{nm} = \left[ \frac{(2 - \delta(m))(2n+1)(n-m)!}{(n+m)!} \right]^{1/2} \quad (5-22)$$

$$\delta(m) = \begin{cases} 1, & \text{if } m = 0 \\ 0, & \text{if } m \neq 0 \end{cases} \quad (5-23)$$

由於程式中使用的是正規化球諧係數，所以必須進行函數間的轉換。已由公式 (5-22) 中得知  $\bar{C}_{nm} \bar{P}_{nm} = C_{nm} P_{nm}$ ，所以在公式 (5-4) ~ 公式 (5-19) 中，可利用  $\bar{C}_{nm}, \bar{S}_{nm}, \bar{P}_{nm}$  取代替換  $C_{nm}, S_{nm}, P_{nm}$ 。另由於  $\bar{C}_n^m \bar{P}_n^{m+1} \neq C_n^m P_n^{m+1}$ ，所以公式(5-5)、(5-8)、(5-10)、(5-11)、(5-17)、(5-18)中出現之  $P_n^{m+1}$ ，則可以經由下式進行替換：

$$C_n^m P_n^{m+1} = \bar{C}_n^m \bar{P}_n^{m+1} \left( \frac{H_n^m}{H_n^{m+1}} \right) \quad (5-23)$$

$$\text{其中, } \frac{H_n^m}{H_n^{m+1}} = \begin{cases} \sqrt{\frac{n \cdot (n+1)}{2}} & \Rightarrow \text{if } m = 0 \\ \sqrt{(n-m)(n+m+1)} & \Rightarrow \text{if } m \neq 0 \end{cases}$$

利用公式 (5-21) ~ 公式 (5-23) 便可以求得以正規化球諧係數 ( $\bar{C}_{nm}, \bar{S}_{nm}$ ) 以及完全正規化締和勒證德函數  $\bar{P}_{nm}$  表達之  $\mathbf{A}_{NS}$ 、 $\mathbf{B}_{NS}$ 、 $\mathbf{C}_{NS}$ 。

## 5-2 大氣阻力

衛星高度越低，所受到的空氣阻力就越大。現將因為空氣阻力造成的擾動加速度  $\ddot{\mathbf{R}}_D$  表示為 (李慶海，1989)：

$$\begin{aligned} \ddot{\mathbf{R}}_D &= -\frac{1}{2} C_D \rho \frac{A}{m} (\dot{\mathbf{r}} - \dot{\mathbf{r}}_d) |\dot{\mathbf{r}} - \dot{\mathbf{r}}_d| \\ &= -\frac{1}{2} C_D \rho \frac{A}{m} v_{rel} \mathbf{v}_{rel} \end{aligned} \quad (5-24)$$

其中， $C_D$ ：空氣阻力係數

$\rho$ ：大氣組成密度

$A$ ：有效衛星橫截面積

$m$ ：衛星質量

$\mathbf{v}_{rel}$ ：衛星對大氣的相對速度

$\dot{\mathbf{r}}$ ， $\dot{\mathbf{r}}_d$ ：分別為衛星及空氣的速度向量

有效衛星橫截面積  $A$ ，為衛星垂直於衛星對大氣相對速度  $\mathbf{v}_{rel}$  方向上的面積。由於大氣速度遠小於衛星速度故大部分的衛星橫截面積可以考慮為為衛星行進時面向軌道面的面積  $A_{sat}$ ，用數學式表示為  $A = A_{sat} \times \cos \alpha$ 。其中  $\alpha$  為衛星速度與相對速度間的夾角 (圖 5-1)，用三角形中的邊與角關係計算可得：

$$\alpha = \cos^{-1} \left( \frac{\dot{r}^2 + v_{rel}^2 - \dot{r}_d^2}{2 \cdot \dot{r} \cdot v_{rel}} \right) \quad (5-25)$$

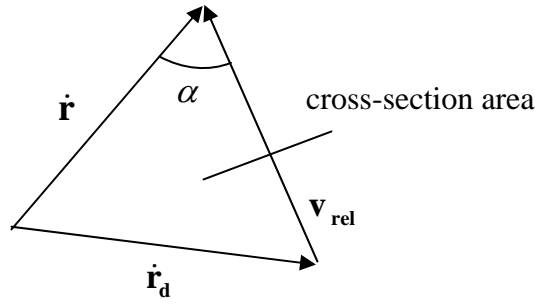


圖 5-1 有效衛星橫截面積與速度向量表示圖

### 5-2-1 大氣擾動加速度與衛星位置、衛星速度間的關係

$\mathbf{A}_{AD}$  矩陣為計算大氣擾動加速度對衛星位置的偏微所產生的矩陣， $\mathbf{B}_{AD}$  矩陣為大氣擾動加速度對衛星速度的偏微所產生的矩陣。首先必須考慮的是，在大氣擾動加速度中，與衛星位置及衛星速度有函數相關的參數究竟為何？這些參數分別是：大氣組成密度  $\rho$ 、衛星速度與相對速度間的夾角  $\alpha$ 、衛星對大氣的相對速度向量  $\mathbf{v}_{rel}$  其速度大小  $v_{rel}$ 。利用微分鍊式法則可以將  $\mathbf{A}_{AD}$ 、 $\mathbf{B}_{AD}$  矩陣可以分別表示為：

$$\begin{aligned} \mathbf{A}_{AD} &= \frac{\partial \ddot{\mathbf{R}}_D}{\partial \mathbf{r}^T} = \frac{\partial \ddot{\mathbf{R}}_D}{\partial \rho} \frac{\partial \rho}{\partial \mathbf{r}^T} + \frac{\partial \ddot{\mathbf{R}}_D}{\partial \alpha} \frac{\partial \alpha}{\partial \mathbf{r}^T} + \frac{\partial \ddot{\mathbf{R}}_D}{\partial \mathbf{v}_{rel}} \frac{\partial \mathbf{v}_{rel}}{\partial \mathbf{r}^T} + \frac{\partial \ddot{\mathbf{R}}_D}{\partial v_{rel}} \frac{\partial v_{rel}}{\partial \mathbf{r}^T} \\ &= -\frac{1}{2} C_D \frac{A_{sat}}{m} \left[ \frac{\partial \rho}{\partial \mathbf{r}^T} v_{rel} \mathbf{v}_{rel} \cos \alpha + \rho v_{rel} \mathbf{v}_{rel} (-\sin \alpha) \frac{\partial \alpha}{\partial \mathbf{r}^T} + \rho \cos \alpha v_{rel} \frac{\partial \mathbf{v}_{rel}}{\partial \mathbf{r}^T} + \rho \cos \alpha v_{rel} \frac{\partial v_{rel}}{\partial \mathbf{r}^T} \right] \end{aligned} \quad (5-26)$$

$$\begin{aligned} \mathbf{B}_{AD} &= \frac{\partial \ddot{\mathbf{R}}_D}{\partial \dot{\mathbf{r}}^T} = \frac{\partial \ddot{\mathbf{R}}_D}{\partial \rho} \frac{\partial \rho}{\partial \dot{\mathbf{r}}^T} + \frac{\partial \ddot{\mathbf{R}}_D}{\partial \alpha} \frac{\partial \alpha}{\partial \dot{\mathbf{r}}^T} + \frac{\partial \ddot{\mathbf{R}}_D}{\partial \mathbf{v}_{rel}} \frac{\partial \mathbf{v}_{rel}}{\partial \dot{\mathbf{r}}^T} + \frac{\partial \ddot{\mathbf{R}}_D}{\partial v_{rel}} \frac{\partial v_{rel}}{\partial \dot{\mathbf{r}}^T} \\ &= -\frac{1}{2} C_D \rho \frac{A_{sat}}{m} \left[ v_{rel} \mathbf{v}_{rel} (-\sin \alpha) \frac{\partial \alpha}{\partial \dot{\mathbf{r}}^T} + \cos \alpha v_{rel} \frac{\partial \mathbf{v}_{rel}}{\partial \dot{\mathbf{r}}^T} + \cos \alpha v_{rel} \frac{\partial v_{rel}}{\partial \dot{\mathbf{r}}^T} \right] \end{aligned} \quad (5-27)$$

以下分別來討論各參數與衛星位置、衛星速度間的關係。

#### 一、大氣組成密度

大氣組成密度僅與衛星所在位置有關係，與衛星速度則無關。大氣組成密度  $\rho$

可表示為  $\rho(Z) = \rho_s(Z)\Delta\rho_c$ 。  $\rho_s(Z)$  是高度為  $Z$  時的標準大氣密度，  $\Delta\rho_c$  則是其他密度變化量。簡單敘述如下：

(一) 標準大氣密度：為衛星高度  $Z$ 、全球平均大氣層溫度  $T_\infty$  的函數。

$\rho_s(Z)$  是在衛星高度  $Z$  處的標準大氣密度 (Montenbruck and Gill, 2001)：

$$\log \rho_s(Z, T_\infty) = \sum_{i=0}^5 \sum_{j=0}^4 c_{ij} \left( \frac{Z}{1000\text{km}} \right)^i \left( \frac{T_\infty}{1000\text{K}} \right)^j \quad (5-28)$$

由上式可以得到標準大氣密度

$$\rho_s(Z, T_\infty) = 10^{\sum_{i=0}^5 \sum_{j=0}^4 c_{ij} \left( \frac{Z}{1000\text{km}} \right)^i \left( \frac{T_\infty}{1000\text{K}} \right)^j} \quad (5-29)$$

其中，  $Z$  為衛星高度 (km)，  $T_\infty$  為全球平均大氣層溫度。透過太陽活動資料、地磁活動資料及每日大氣變化可以求算出  $T_\infty$ 。

(二) 全球平均大氣層溫度

(1) 當日 10.7 公分波長的平均太陽通量  $F_{10.7}$ ，及計算日前後 27 天的平均太陽通量  $\bar{F}_{10.7}$ ，二者所造成之求平均大氣層溫度每日變化值：

$$T_c = 379.0^\circ + 3.24^\circ \bar{F}_{10.7} + 1.3^\circ (F_{10.7} - \bar{F}_{10.7}) \quad (5-30)$$

(2) 公式 (5-30) 求得之大氣溫度是在假設地磁活動為零的情況下，故必須再加上地磁活動資料，此時全球平均大氣層溫度為：

$$T_1 = T_c \left\{ 1 + 0.3 \left[ \sin^{2.2} \theta + (\cos^{2.2} \eta - \sin^{2.2} \theta) \cos^{3.0} \frac{\tau}{2} \right] \right\} \quad (5-31)$$

$$\text{式中， } \theta = \frac{1}{2} |\phi + \delta_s| \quad (5-32)$$

$$\eta = \frac{1}{2} |\phi - \delta_s| \quad (5-33)$$

$$\tau = H - 37.0^\circ + 6.0^\circ \sin(H + 43.0^\circ) \quad (5-34)$$

其中，  $\phi$ ：衛星大地緯度



$\delta_s$  : 太陽赤緯

$H$  : 太陽地方時角。為衛星赤經減太陽赤經所得之夾角。

$$H = \tan^{-1}\left(\frac{y}{x}\right) - \tan^{-1}\left(\frac{y_s}{x_s}\right) \quad (5-35)$$

(3) 大氣層溫度改正量  $\Delta T_\infty$

$$\begin{aligned} \Delta T_\infty &= 28.0^\circ K_p + 0.03^\circ e^{K_p} && (Z \geq 200 \text{ KM}) \\ \Delta T_\infty &= 14.0^\circ K_p + 0.02^\circ e^{K_p} && (Z < 200 \text{ KM}) \end{aligned} \quad (5-36)$$

其中， $K_p$  為計算當天第 6.7 時到 9.7 時，此 3 小時內的地磁指數值。

(三) 標準密度多項式係數  $c_{ij}$

$c_{ij}$  為 Jacchia 在 1971 年提出，針對在不同溫度、不同衛星高度下的標準密度

多項式係數，可適用於高度 90~2500 公里、大氣溫度 500~1900 絕對溫度，

見表 5-1 及表 5-2。



表 5-1 500 公里以下之標準溫度多項式係數 (Montenbruck and Gill, 2001)

90 公里 < Z < 180 公里						500K < T <sub>∞</sub> < 850K					
i/j	0	1	2	3	4	0	1	2	3	4	
0	-0.3520856×10 <sup>2</sup>	+0.3912622×10 <sup>1</sup>	-0.8649259×10 <sup>2</sup>	+0.1504119×10 <sup>3</sup>	-0.7109428×10 <sup>2</sup>	-0.5335412×10 <sup>2</sup>	+0.2900557×10 <sup>2</sup>	-0.2046439×10 <sup>2</sup>	+0.7977149×10 <sup>2</sup>	-0.13335853×10	
1	+0.1129210×10 <sup>4</sup>	+0.1198158×10 <sup>4</sup>	+0.8633794×10 <sup>3</sup>	-0.3577091×10 <sup>4</sup>	+0.1970558×10 <sup>4</sup>	+0.1977533×10 <sup>4</sup>	-0.7091478×10 <sup>3</sup>	+0.4398538×10 <sup>3</sup>	-0.1568720×10 <sup>3</sup>	+0.2615466×10 <sup>2</sup>	
2	-0.1527475×10 <sup>5</sup>	-0.3558481×10 <sup>5</sup>	+0.1899243×10 <sup>5</sup>	+0.2508241×10 <sup>5</sup>	-0.1968253×10 <sup>5</sup>	-0.2993620×10 <sup>5</sup>	+0.5187286×10 <sup>4</sup>	-0.1989795×10 <sup>4</sup>	+0.3643166×10 <sup>3</sup>	-0.5700669×10 <sup>2</sup>	
3	+0.9302042×10 <sup>5</sup>	+0.3646554×10 <sup>6</sup>	-0.3290364×10 <sup>6</sup>	-0.1209631×10 <sup>5</sup>	+0.8438137×10 <sup>5</sup>	+0.2112068×10 <sup>6</sup>	-0.4483209×10 <sup>4</sup>	-0.1349971×10 <sup>5</sup>	+0.9510012×10 <sup>4</sup>	-0.1653725×10 <sup>4</sup>	
4	-0.2734394×10 <sup>6</sup>	-0.1576097×10 <sup>7</sup>	+0.1685831×10 <sup>7</sup>	-0.4282943×10 <sup>6</sup>	-0.1345593×10 <sup>6</sup>	-0.7209722×10 <sup>6</sup>	-0.7684101×10 <sup>5</sup>	+0.1256236×10 <sup>6</sup>	-0.6805699×10 <sup>6</sup>	+0.1181257×10 <sup>5</sup>	
5	+0.3149696×10 <sup>6</sup>	+0.2487723×10 <sup>7</sup>	-0.2899124×10 <sup>7</sup>	+0.1111904×10 <sup>7</sup>	+0.3294095×10 <sup>2</sup>	+0.9625966×10 <sup>6</sup>	+0.2123127×10 <sup>6</sup>	-0.2622793×10 <sup>6</sup>	+0.1337130×10 <sup>6</sup>	-0.2329995×10 <sup>5</sup>	
90 公里 < Z < 180 公里						850K < T <sub>∞</sub> < 1900K					
i/j	0	1	2	3	4	0	1	2	3	4	
0	-0.5335412×10 <sup>2</sup>	+0.2900557×10 <sup>2</sup>	-0.2046439×10 <sup>2</sup>	+0.7977149×10 <sup>2</sup>	-0.13335853×10	+0.2311910×10 <sup>2</sup>	+0.1355298×10 <sup>3</sup>	-0.8424310×10 <sup>3</sup>	+0.1287331×10 <sup>4</sup>	-0.6181209×10 <sup>3</sup>	
1	+0.1977533×10 <sup>4</sup>	-0.7091478×10 <sup>3</sup>	+0.4398538×10 <sup>3</sup>	-0.1568720×10 <sup>3</sup>	+0.2615466×10 <sup>2</sup>	-0.1057776×10 <sup>4</sup>	+0.6087979×10 <sup>3</sup>	+0.8690566×10 <sup>4</sup>	-0.1715922×10 <sup>5</sup>	+0.9052671×10 <sup>4</sup>	
2	-0.2993620×10 <sup>5</sup>	+0.5187286×10 <sup>4</sup>	-0.1989795×10 <sup>4</sup>	+0.3643166×10 <sup>3</sup>	-0.5700669×10 <sup>2</sup>	+0.1177230×10 <sup>5</sup>	-0.3164132×10 <sup>5</sup>	-0.1076323×10 <sup>4</sup>	+0.6302629×10 <sup>5</sup>	-0.4312459×10 <sup>5</sup>	
3	+0.2112068×10 <sup>6</sup>	-0.4483209×10 <sup>4</sup>	-0.1349971×10 <sup>5</sup>	+0.9510012×10 <sup>4</sup>	-0.1653725×10 <sup>4</sup>	-0.5827663×10 <sup>5</sup>	+0.2188167×10 <sup>6</sup>	-0.2422912×10 <sup>6</sup>	+0.2461286×10 <sup>6</sup>	+0.6044096×10 <sup>5</sup>	
4	-0.7209722×10 <sup>6</sup>	-0.7684101×10 <sup>5</sup>	+0.1256236×10 <sup>6</sup>	-0.6805699×10 <sup>6</sup>	+0.1181257×10 <sup>5</sup>	+0.1254589×10 <sup>6</sup>	-0.5434710×10 <sup>6</sup>	+0.8123016×10 <sup>6</sup>	+0.5095273×10 <sup>6</sup>	+0.5007458×10 <sup>5</sup>	
5	+0.9625966×10 <sup>6</sup>	+0.2123127×10 <sup>6</sup>	-0.2622793×10 <sup>6</sup>	+0.1337130×10 <sup>6</sup>	-0.2329995×10 <sup>5</sup>	-0.9452922×10 <sup>5</sup>	+0.4408026×10 <sup>6</sup>	-0.7379410×10 <sup>6</sup>	+0.5095273×10 <sup>6</sup>	-0.1154192×10 <sup>6</sup>	
180 公里 < Z < 500 公里						500K < T <sub>∞</sub> < 850K					
i/j	0	1	2	3	4	0	1	2	3	4	
0	+0.2311910×10 <sup>2</sup>	+0.1355298×10 <sup>3</sup>	-0.8424310×10 <sup>3</sup>	+0.1287331×10 <sup>4</sup>	-0.6181209×10 <sup>3</sup>	+0.4041761×10 <sup>2</sup>	-0.1305719×10 <sup>3</sup>	+0.1466809×10 <sup>3</sup>	-0.7120196×10 <sup>2</sup>	+0.1269605×10 <sup>2</sup>	
1	-0.1057776×10 <sup>4</sup>	+0.6087979×10 <sup>3</sup>	+0.8690566×10 <sup>4</sup>	-0.1715922×10 <sup>5</sup>	+0.9052671×10 <sup>4</sup>	-0.8127720×10 <sup>3</sup>	+0.2273565×10 <sup>4</sup>	-0.2577261×10 <sup>4</sup>	+0.1259045×10 <sup>4</sup>	-0.2254978×10 <sup>3</sup>	
2	+0.1177230×10 <sup>5</sup>	-0.3164132×10 <sup>5</sup>	-0.1076323×10 <sup>4</sup>	+0.6302629×10 <sup>5</sup>	-0.4312459×10 <sup>5</sup>	+0.5130043×10 <sup>4</sup>	-0.1501308×10 <sup>5</sup>	+0.1717142×10 <sup>5</sup>	-0.8441698×10 <sup>4</sup>	+0.1518796×10 <sup>4</sup>	
3	-0.5827663×10 <sup>5</sup>	+0.2188167×10 <sup>6</sup>	-0.2422912×10 <sup>6</sup>	+0.2461286×10 <sup>6</sup>	+0.6044096×10 <sup>5</sup>	-0.1600170×10 <sup>5</sup>	-0.7199064×10 <sup>5</sup>	+0.8284653×10 <sup>5</sup>	-0.4098358×10 <sup>5</sup>	+0.7411926×10 <sup>4</sup>	
4	+0.1254589×10 <sup>6</sup>	-0.5434710×10 <sup>6</sup>	+0.8123016×10 <sup>6</sup>	+0.5095273×10 <sup>6</sup>	+0.5007458×10 <sup>5</sup>	+0.2384718×10 <sup>5</sup>	-0.7199064×10 <sup>5</sup>	+0.8284653×10 <sup>5</sup>	-0.4098358×10 <sup>5</sup>	+0.7411926×10 <sup>4</sup>	
5	-0.9452922×10 <sup>5</sup>	+0.4408026×10 <sup>6</sup>	-0.7379410×10 <sup>6</sup>	+0.5095273×10 <sup>6</sup>	-0.1154192×10 <sup>6</sup>	-0.1363104×10 <sup>5</sup>	+0.4153499×10 <sup>5</sup>	-0.4793581×10 <sup>5</sup>	+0.2377854×10 <sup>5</sup>	-0.4310233×10 <sup>4</sup>	
180 公里 < Z < 500 公里						850K < T <sub>∞</sub> < 1900K					
i/j	0	1	2	3	4	0	1	2	3	4	
0	+0.4041761×10 <sup>2</sup>	-0.1305719×10 <sup>3</sup>	+0.1466809×10 <sup>3</sup>	-0.7120196×10 <sup>2</sup>	+0.1269605×10 <sup>2</sup>	+0.4041761×10 <sup>2</sup>	-0.1305719×10 <sup>3</sup>	+0.1466809×10 <sup>3</sup>	-0.7120196×10 <sup>2</sup>	+0.1269605×10 <sup>2</sup>	
1	-0.8127720×10 <sup>3</sup>	+0.2273565×10 <sup>4</sup>	-0.2577261×10 <sup>4</sup>	+0.1259045×10 <sup>4</sup>	-0.2254978×10 <sup>3</sup>	-0.8127720×10 <sup>3</sup>	+0.2273565×10 <sup>4</sup>	-0.2577261×10 <sup>4</sup>	+0.1259045×10 <sup>4</sup>	-0.2254978×10 <sup>3</sup>	
2	+0.5130043×10 <sup>4</sup>	-0.1501308×10 <sup>5</sup>	+0.1717142×10 <sup>5</sup>	-0.8441698×10 <sup>4</sup>	+0.1518796×10 <sup>4</sup>	+0.5130043×10 <sup>4</sup>	-0.1501308×10 <sup>5</sup>	+0.1717142×10 <sup>5</sup>	-0.8441698×10 <sup>4</sup>	+0.1518796×10 <sup>4</sup>	
3	-0.1600170×10 <sup>5</sup>	-0.7199064×10 <sup>5</sup>	+0.8284653×10 <sup>5</sup>	-0.4098358×10 <sup>5</sup>	+0.7411926×10 <sup>4</sup>	-0.1600170×10 <sup>5</sup>	-0.7199064×10 <sup>5</sup>	+0.8284653×10 <sup>5</sup>	-0.4098358×10 <sup>5</sup>	+0.7411926×10 <sup>4</sup>	
4	+0.2384718×10 <sup>5</sup>	-0.7199064×10 <sup>5</sup>	+0.8284653×10 <sup>5</sup>	-0.4098358×10 <sup>5</sup>	+0.7411926×10 <sup>4</sup>	+0.2384718×10 <sup>5</sup>	-0.7199064×10 <sup>5</sup>	+0.8284653×10 <sup>5</sup>	-0.4098358×10 <sup>5</sup>	+0.7411926×10 <sup>4</sup>	
5	-0.1363104×10 <sup>5</sup>	+0.4153499×10 <sup>5</sup>	-0.4793581×10 <sup>5</sup>	+0.2377854×10 <sup>5</sup>	-0.4310233×10 <sup>4</sup>	-0.1363104×10 <sup>5</sup>	+0.4153499×10 <sup>5</sup>	-0.4793581×10 <sup>5</sup>	+0.2377854×10 <sup>5</sup>	-0.4310233×10 <sup>4</sup>	

表 5-2 500 公里以上之標準溫度多項式係數 (Montenbruck and Gill, 2001)

500 公里 < Z < 1000 公里						500K < T <sub>∞</sub> < 850K					
i/j	0	1	2	3	4						
0	-0.1815722×10 <sup>4</sup>	+0.9792972×10 <sup>4</sup>	-0.1831374×10 <sup>5</sup>	+0.1385255×10 <sup>5</sup>	-0.3451234×10 <sup>4</sup>						
1	+0.9851221×10 <sup>4</sup>	-0.5397525×10 <sup>5</sup>	+0.9993169×10 <sup>5</sup>	-0.7259456×10 <sup>5</sup>	+0.1622553×10 <sup>5</sup>						
2	-0.1822932×10 <sup>5</sup>	+0.1002430×10 <sup>6</sup>	-0.1784481×10 <sup>6</sup>	+0.1145178×10 <sup>6</sup>	-0.1641934×10 <sup>5</sup>						
3	+0.1298113×10 <sup>5</sup>	-0.7113430×10 <sup>5</sup>	+0.1106375×10 <sup>6</sup>	-0.3825777×10 <sup>5</sup>	-0.1666915×10 <sup>5</sup>						
4	-0.1533510×10 <sup>4</sup>	+0.7815537×10 <sup>4</sup>	+0.7037562×10 <sup>4</sup>	-0.4674636×10 <sup>5</sup>	+0.3516949×10 <sup>5</sup>						
5	-0.1263680×10 <sup>4</sup>	+0.7265792×10 <sup>4</sup>	-0.2092909×10 <sup>5</sup>	+0.2936094×10 <sup>5</sup>	-0.1491676×10 <sup>5</sup>						
500 公里 < Z < 1000 公里						850K < T <sub>∞</sub> < 1900K					
i/j	0	1	2	3	4						
0	-0.4021335×10 <sup>2</sup>	-0.1326983×10 <sup>3</sup>	+0.3778864×10 <sup>3</sup>	-0.2808660×10 <sup>3</sup>	+0.6513531×10 <sup>2</sup>						
1	+0.4255789×10 <sup>3</sup>	+0.3528126×10 <sup>3</sup>	-0.2077888×10 <sup>4</sup>	+0.1726543×10 <sup>4</sup>	-0.4191477×10 <sup>3</sup>						
2	-0.1821662×10 <sup>4</sup>	+0.7905357×10 <sup>3</sup>	+0.3934271×10 <sup>4</sup>	-0.3969334×10 <sup>4</sup>	+0.1027991×10 <sup>4</sup>						
3	+0.3070231×10 <sup>4</sup>	-0.2941540×10 <sup>4</sup>	-0.3276639×10 <sup>4</sup>	+0.4420217×10 <sup>4</sup>	-0.1230778×10 <sup>4</sup>						
4	-0.2196848×10 <sup>4</sup>	+0.2585118×10 <sup>4</sup>	+0.1382776×10 <sup>4</sup>	-0.2533006×10 <sup>4</sup>	+0.7451387×10 <sup>3</sup>						
5	+0.5494959×10 <sup>3</sup>	-0.6604225×10 <sup>3</sup>	-0.3328077×10 <sup>3</sup>	+0.6335703×10 <sup>3</sup>	-0.1879812×10 <sup>3</sup>						
1000 公里 < Z < 2500 公里						500K < T <sub>∞</sub> < 850K					
i/j	0	1	2	3	4						
0	+0.3548698×10 <sup>3</sup>	-0.2508685×10 <sup>4</sup>	+0.6252742×10 <sup>4</sup>	-0.6755376×10 <sup>4</sup>	+0.2675763×10 <sup>4</sup>						
1	-0.5370852×10 <sup>3</sup>	+0.4182586×10 <sup>4</sup>	-0.1151114×10 <sup>5</sup>	+0.1338915×10 <sup>5</sup>	-0.5610580×10 <sup>4</sup>						
2	-0.2349586×10 <sup>2</sup>	-0.8941841×10 <sup>3</sup>	+0.4417927×10 <sup>4</sup>	-0.6732817×10 <sup>4</sup>	+0.3312608×10 <sup>4</sup>						
3	+0.3407073×10 <sup>3</sup>	-0.1531588×10 <sup>4</sup>	+0.2179045×10 <sup>4</sup>	-0.8841341×10 <sup>3</sup>	-0.1369769×10 <sup>3</sup>						
4	-0.1698471×10 <sup>3</sup>	+0.8985697×10 <sup>3</sup>	-0.1704797×10 <sup>5</sup>	+0.1363098×10 <sup>4</sup>	-0.3812417×10 <sup>3</sup>						
5	+0.2497973×10 <sup>2</sup>	-0.1389618×10 <sup>3</sup>	+0.2820058×10 <sup>3</sup>	-0.2472862×10 <sup>3</sup>	+0.7896439×10 <sup>2</sup>						
1000 公里 < Z < 2500 公里						850K < T <sub>∞</sub> < 1900K					
i/j	0	1	2	3	4						
0	+0.1281061×10 <sup>2</sup>	-0.3389179×10 <sup>3</sup>	+0.6861935×10 <sup>3</sup>	-0.4667627×10 <sup>3</sup>	+0.1029662×10 <sup>3</sup>						
1	+0.2024251×10 <sup>3</sup>	+0.1668302×10 <sup>3</sup>	-0.1147876×10 <sup>4</sup>	+0.9918940×10 <sup>3</sup>	-0.2430215×10 <sup>3</sup>						
2	-0.5750743×10 <sup>3</sup>	+0.8259823×10 <sup>3</sup>	+0.2329832×10 <sup>3</sup>	-0.6503359×10 <sup>3</sup>	+0.1997989×10 <sup>3</sup>						
3	+0.5106207×10 <sup>3</sup>	-0.1032012×10 <sup>4</sup>	+0.4851874×10 <sup>3</sup>	+0.8214097×10 <sup>2</sup>	-0.6527048×10 <sup>2</sup>						
4	-0.1898953×10 <sup>3</sup>	+0.4347501×10 <sup>3</sup>	-0.2986011×10 <sup>3</sup>	+0.5423180×10 <sup>2</sup>	+0.5039459×10 <sup>1</sup>						
5	+0.2569577×10 <sup>2</sup>	-0.6282710×10 <sup>2</sup>	+0.4971077×10 <sup>2</sup>	-0.1404385×10 <sup>2</sup>	+0.8450500×10 <sup>0</sup>						

(四) 其他密度變化量

空氣密度會隨高度變化，其基本元素 $N_2$ 、 $O$ 、 $O_2$ 、 $H$ 、 $He$ 、 $Ar$ 等在大氣層中分佈情況也會隨地理位置而變。密度變化量主要的影響因素有四：(1)地磁活動變化 (geomagnetic activity)；(2)半年變化 (semi-annual)；(3)低大氣層之季節緯度變化；(4)氦氣之季節緯度變化。(張莉雪，2003)

(1) 地磁活動密度變化量：

$$(\Delta \log \rho)_G = 0.012K_p + 1.2 \times 10^{-5} e^{K_p} \quad (5-37)$$

(2) 半年變化密度變化量

$$(\Delta \log \rho)_{SA} = f(Z)g(t) \quad (5-38)$$

式中， $f(Z)$ ：計算高度 $Z$ 時的密度變化幅度， $g(t)$ ：時間變化。

$$f(Z) = (5.876 \times 10^{-7} \times Z^{2.331} + 0.06328) \exp(-0.002868Z) \quad (5-39)$$

$$g(t) = 0.02835 + [0.3817 + 0.17829 \sin(2\pi\tau_{SA} + 4.137)] \times \sin(4\pi\tau_{SA} + 4.259) \quad (5-40)$$

$$\tau_{SA} = \Phi + 0.09544 \left\{ [0.5 + 0.5 \sin(2\pi\Phi + 6.035)]^{1.65} - 0.5 \right\} \quad (5-41)$$

$$\text{其中，} \Phi = \frac{t - 36204}{365.2422} \quad t \text{ 為 Modified Julian Days} \quad (5-42)$$

(3) 低大氣層之季節緯度變化

$$(\Delta \log \rho)_{LT} = 0.014(Z - 90) \exp(-0.0013(Z - 90)^2) \times \sin(2\pi\Phi + 1.72) \sin \phi |\sin \phi| \quad (5-43)$$

其中， $\phi$ 為大地緯度

(4) 氦氣之季節緯度變化

$$(\Delta \log \rho)_{He} = 0.65 \left| \frac{\delta_s}{\varepsilon} \right| \left[ \sin^3 \left( \frac{\pi}{4} - \frac{\phi \delta_s}{2|\delta_s|} \right) - 0.35355 \right] \quad (5-44)$$

其中， $\phi$ 為衛星大地緯度， $\delta_s$ 為太陽赤緯， $\varepsilon$ 為黃道傾角

綜合以上(1)、(2)、(3)、(4)所述，可以得到密度變化量為

$$(\Delta \log \rho)_{corr} = (\Delta \log \rho)_G + (\Delta \log \rho)_{SA} + (\Delta \log \rho)_{LT} + (\Delta \log \rho)_{He} \quad (5-45)$$

$$\Delta \rho_c = 10^{(\Delta \log \rho)_{corr}} \quad (5-46)$$

要得知大氣組成密度與衛星位置間的關係，則必須進行大氣組成密度對衛星位置的偏微分。現利用微分積法則對大氣組成密度展開偏微：

$$\frac{\partial \rho}{\partial \mathbf{r}^T} = \rho_s \frac{\partial(\Delta \rho_c)}{\partial \mathbf{r}^T} + \Delta \rho_c \frac{\partial \rho_s}{\partial \mathbf{r}^T} \quad (5-47)$$

式中其他密度變化量  $\Delta \rho_c$  與衛星位置的關係，可利用指數函數的導數公式展開為，

$$\begin{aligned} \frac{\partial(\Delta \rho_c)}{\partial \mathbf{r}^T} = & \Delta \rho_c \cdot \ln 10 \cdot \left\{ g(t) f'(Z) \frac{\partial Z}{\partial \mathbf{r}^T} + 0.014 \sin(2\pi\Phi + 1.72) e^{-0.0013(Z-90)^2} \right. \\ & \times \left( [1 - 0.0026(Z-90)^2] \sin \phi |\sin \phi| \frac{\partial Z}{\partial \mathbf{r}^T} + 2(Z-90) |\sin \phi| \cos \phi \frac{\partial \phi}{\partial \mathbf{r}^T} \right) \\ & \left. + 0.65 \cdot 3 \left| \frac{\delta_s}{\varepsilon} \right| \sin^2 \left( \frac{\pi}{4} - \frac{\phi \delta_s}{2|\delta_s|} \right) \cdot \cos \left( \frac{\pi}{4} - \frac{\phi \delta_s}{2|\delta_s|} \right) \left( -\frac{\delta_s}{2|\delta_s|} \right) \frac{\partial \phi}{\partial \mathbf{r}^T} \right\} \end{aligned} \quad (5-48)$$

其中， $Z$  為衛星高度 (km)、 $\phi$  為衛星大地緯度

$\Delta \rho_c$  見 (5-46) 式、 $g(t)$  見 (5-40) 式、 $\Phi$  見 (5-42) 式

$\frac{\partial \phi}{\partial \mathbf{r}^T}$ ：衛星大地緯度為衛星位置的偏微，見 (5-49) 式

$\frac{\partial Z}{\partial \mathbf{r}^T}$ ：衛星高度  $Z$  對衛星位置的偏微，見 (5-50)

$f'(Z)$ ：(5-39) 式對高度  $Z$  的偏微，見 (5-51) 式

$$\begin{bmatrix} \frac{\partial \phi}{\partial x_b} \\ \frac{\partial \phi}{\partial y_b} \\ \frac{\partial \phi}{\partial z_b} \end{bmatrix} = \frac{(1-e^2)}{\sqrt{x_b^2 + y_b^2} [(1-e^2)(x_b^2 + y_b^2) + z_b^2]} \begin{bmatrix} -x_b z_b \\ -y_b z_b \\ (x_b^2 + y_b^2) \end{bmatrix} \quad (5-49)$$

$$\begin{bmatrix} \frac{\partial Z}{\partial x_b} \\ \frac{\partial Z}{\partial y_b} \\ \frac{\partial Z}{\partial z_b} \end{bmatrix} = - \left( \frac{e^2 R_e (1 - e^2) \sin \phi \cos \phi}{(1 - e^2 \sin^2 \phi)^{3/2}} + \frac{z_b \cos \phi}{\sin^2 \phi} \right) \begin{bmatrix} \frac{\partial \phi}{\partial x_b} \\ \frac{\partial \phi}{\partial y_b} \\ \frac{\partial \phi}{\partial z_b} \end{bmatrix} \quad (5-50)$$

$$f'(Z) = -0.002868f(Z) + 2.331(5.876 \times 10^{-7})Z^{1.331}e^{-0.002868Z} \quad (5-51)$$

其中， $R_e$ ：地球赤道半徑， $e$ ：地球離心率， $(x_b, y_b, z_b)$ ：衛星地固座標。

利用指數函數的導數公式對標準大氣密度展開為：

$$\frac{\partial \rho_s}{\partial \mathbf{r}^T} = 10^{\sum_{i=0}^5 \sum_{j=0}^4 c_{ij} \left( \frac{Z}{1000\text{km}} \right)^i \left( \frac{T_\infty}{1000\text{K}} \right)^j} \times \ln 10 \times \left[ \frac{\partial \left( \sum_{i=0}^5 \sum_{j=0}^4 c_{ij} \left( \frac{Z}{1000\text{km}} \right)^i \left( \frac{T_\infty}{1000\text{K}} \right)^j \right)}{\partial Z} \cdot \frac{\partial Z}{\partial \mathbf{r}^T} \times \frac{\partial \left( \sum_{i=0}^5 \sum_{j=0}^4 c_{ij} \left( \frac{Z}{1000\text{km}} \right)^i \left( \frac{T_\infty}{1000\text{K}} \right)^j \right)}{\partial T_\infty} \cdot \frac{\partial T_\infty}{\partial \mathbf{r}^T} \right] \quad (5-52)$$

其中， $\frac{\partial Z}{\partial \mathbf{r}^T}$ ：見 (5-50) 式

$$\frac{\partial \left( \sum_{i=0}^5 \sum_{j=0}^4 c_{ij} \left( \frac{Z}{1000\text{km}} \right)^i \left( \frac{T_\infty}{1000\text{K}} \right)^j \right)}{\partial Z} = \frac{i}{1000} \sum_{i=0}^5 \sum_{j=0}^4 c_{ij} \left( \frac{Z}{1000\text{km}} \right)^{i-1} \left( \frac{T_\infty}{1000\text{K}} \right)^j \quad (5-53)$$

$$\frac{\partial \left( \sum_{i=0}^5 \sum_{j=0}^4 c_{ij} \left( \frac{Z}{1000\text{km}} \right)^i \left( \frac{T_\infty}{1000\text{K}} \right)^j \right)}{\partial T_\infty} = \frac{j}{1000} \sum_{i=0}^5 \sum_{j=0}^4 c_{ij} \left( \frac{Z}{1000\text{km}} \right)^i \left( \frac{T_\infty}{1000\text{K}} \right)^{j-1} \quad (5-54)$$

$$\frac{\partial T_\infty}{\partial \mathbf{r}^T} = \frac{\partial T_\infty}{\partial \theta} \frac{\partial \theta}{\partial \mathbf{r}^T} + \frac{\partial T_\infty}{\partial \eta} \frac{\partial \eta}{\partial \mathbf{r}^T} + \frac{\partial T_\infty}{\partial \tau} \frac{\partial \tau}{\partial \mathbf{r}^T} \quad (5-55)$$

式中，

$$\begin{bmatrix} \frac{\partial T_\infty}{\partial \theta} \\ \frac{\partial T_\infty}{\partial \eta} \\ \frac{\partial T_\infty}{\partial \tau} \end{bmatrix} = 0.3T_c \begin{bmatrix} 2.2 \sin^{1.2} \theta \cos \theta \left(1 - \cos^{3.0} \frac{\tau}{2}\right) \\ -2.2 \cos^{1.2} \eta \sin \eta \cos^{3.0} \frac{\tau}{2} \\ -1.5 \cos^{2.0} \frac{\tau}{2} \sin \frac{\tau}{2} (\cos^{2.2} \eta - \sin^{2.2} \theta) \end{bmatrix} \quad (5-56)$$

$$\frac{\partial \theta}{\partial \mathbf{r}^T} = \frac{\partial \theta}{\partial \phi} \frac{\partial \phi}{\partial \mathbf{r}^T} = \frac{1}{2} \frac{\phi + \delta_s}{|\phi + \delta_s|} \frac{\partial \phi}{\partial \mathbf{r}^T} \quad (5-57)$$

$$\frac{\partial \eta}{\partial \mathbf{r}^T} = \frac{\partial \eta}{\partial \phi} \frac{\partial \phi}{\partial \mathbf{r}^T} = \frac{1}{2} \frac{\phi - \delta_s}{|\phi - \delta_s|} \frac{\partial \phi}{\partial \mathbf{r}^T} \quad (5-58)$$

$$\frac{\partial \tau}{\partial \mathbf{r}^T} = \frac{\partial \tau}{\partial H} \frac{\partial H}{\partial \mathbf{r}^T} \quad (5-59)$$

其中， $\theta, \eta, \tau$ ：見 (5-32)、(5-33)、(5-34) 式

$\phi$ ：衛星大地緯度， $\delta_s$ ：太陽赤緯

$H$ ：太陽地方時角，見 (5-35) 式

$$\frac{\partial \tau}{\partial H} = 1 + 6.0^\circ \cos(H + 43.0^\circ) \quad (5-60)$$

$$\frac{\partial H}{\partial \mathbf{r}^T} = \frac{1}{x^2 + y^2} \begin{bmatrix} -y \\ x \\ 0 \end{bmatrix}, \quad (x, y, z) \text{ 為衛星慣性座標} \quad (5-61)$$

## 二、衛星對大氣的相對速度度向量 $\mathbf{v}_{rel}$

相對速度  $\mathbf{v}_{rel}$  的計算，請參見 (4-11) 式。對於相對速度  $\mathbf{v}_{rel}$  與衛星位置、衛星速度間的關係我們可以用下列矩陣表示之：

$$\frac{\partial \mathbf{v}_{rel}}{\partial \mathbf{r}^T} = \begin{bmatrix} 0 & \dot{\theta}_h & 0 \\ -\dot{\theta}_h & 0 & 0 \\ 0 & 0 & 0 \end{bmatrix}, \quad \frac{\partial \mathbf{v}_{rel}}{\partial \dot{\mathbf{r}}^T} = \begin{bmatrix} 1 & 0 & 0 \\ 0 & 1 & 0 \\ 0 & 0 & 1 \end{bmatrix} \quad (5-62)$$

### 三、衛星對大氣的相對速度大小 $v_{rel}$

將相對速度  $\mathbf{v}_{rel}$  表示為  $(\dot{x}_r, \dot{y}_r, \dot{z}_r)$ ，故  $v_{rel}$  可得為  $(\dot{x}_r^2 + \dot{y}_r^2 + \dot{z}_r^2)^{1/2}$ 。對於相對速度大小  $v_{rel}$  與衛星位置、衛星速度間的關係我們可以用下列矩陣表示之：

$$\frac{\partial v_{rel}}{\partial \mathbf{r}^T} = \frac{\dot{\theta}_h}{v_{rel}} \begin{bmatrix} -\dot{y}_r \\ \dot{x}_r \\ 0 \end{bmatrix}, \quad \frac{\partial v_{rel}}{\partial \dot{\mathbf{r}}^T} = \frac{1}{v_{rel}} \begin{bmatrix} \dot{x}_r \\ \dot{y}_r \\ \dot{z}_r \end{bmatrix} \quad (5-63)$$

### 四、衛星速度與相對速度間的夾角 $\alpha$ 與衛星位置間的關係

要得知夾角  $\alpha$  與衛星位置、衛星速度間的關係，則必須進行夾角  $\alpha$  對衛星位置、衛星速度的偏微，利用三角函數的導數公式可以得到：

$$\frac{\partial \alpha}{\partial \mathbf{r}^T, \partial \dot{\mathbf{r}}^T} = \frac{-1}{\sqrt{1 - \left( \frac{\dot{r}^2 + v_{rel}^2 - \dot{r}_d^2}{2 \cdot \dot{r} \cdot v_{rel}} \right)^2}} \frac{\partial \left( \frac{\dot{r}^2 + v_{rel}^2 - \dot{r}_d^2}{2 \cdot \dot{r} \cdot v_{rel}} \right)}{\partial \mathbf{r}^T, \partial \dot{\mathbf{r}}^T} \quad (5-64)$$

$$\text{式中，} \frac{\partial \left( \frac{\dot{r}^2 + v_{rel}^2 - \dot{r}_d^2}{2 \cdot \dot{r} \cdot v_{rel}} \right)}{\partial \mathbf{r}^T, \partial \dot{\mathbf{r}}^T} = \frac{\partial \left( \frac{v_{rel}}{2\dot{r}} + \frac{\dot{r}}{2v_{rel}} - \frac{\dot{r}_d^2}{2\dot{r}v_{rel}} \right)}{\partial \mathbf{r}^T, \partial \dot{\mathbf{r}}^T} \quad (5-65)$$

$$\frac{\partial \left( \frac{v_{rel}}{2\dot{r}} \right)}{\partial \mathbf{r}^T, \partial \dot{\mathbf{r}}^T} = \frac{\dot{r} \cdot \frac{\partial v_{rel}}{\partial \mathbf{r}^T, \partial \dot{\mathbf{r}}^T} - v_{rel} \cdot \frac{\partial \dot{r}}{\partial \mathbf{r}^T, \partial \dot{\mathbf{r}}^T}}{2\dot{r}^2} \quad (5-66)$$

$$\frac{\partial \left( \frac{\dot{r}}{2v_{rel}} \right)}{\partial \mathbf{r}^T, \partial \dot{\mathbf{r}}^T} = \frac{v_{rel} \cdot \frac{\partial \dot{r}}{\partial \mathbf{r}^T, \partial \dot{\mathbf{r}}^T} - \dot{r} \cdot \frac{\partial v_{rel}}{\partial \mathbf{r}^T, \partial \dot{\mathbf{r}}^T}}{2\dot{r}^2} \quad (5-67)$$

$$\frac{\partial \left( \frac{\dot{r}_d^2}{2\dot{r}v_{rel}} \right)}{\partial \mathbf{r}^T, \partial \dot{\mathbf{r}}^T} = \frac{\dot{r}v_{rel} \cdot \frac{\partial \dot{r}_d^2}{\partial \mathbf{r}^T, \partial \dot{\mathbf{r}}^T} - \dot{r}_d^2 \cdot \frac{\partial (\dot{r}v_{rel})}{\partial \mathbf{r}^T, \partial \dot{\mathbf{r}}^T}}{2\dot{r}^2 v_{rel}^2} \quad (5-68)$$

其中衛星速度大小、大氣速度大小分別對衛星位置、衛星速度向量的偏微

$\frac{\partial \dot{r}}{\partial \mathbf{r}^T}, \frac{\partial \dot{r}}{\partial \dot{\mathbf{r}}^T}, \frac{\partial \dot{r}_d}{\partial \mathbf{r}^T}, \frac{\partial \dot{r}_d}{\partial \dot{\mathbf{r}}^T}$  分別表示如下：



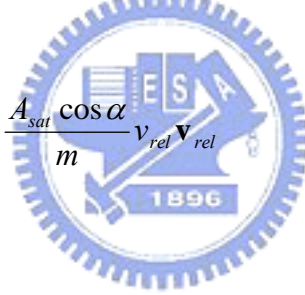
$$\frac{\partial \dot{r}}{\partial \mathbf{r}^T} = \begin{bmatrix} 0 \\ 0 \\ 0 \end{bmatrix}, \quad \frac{\partial \dot{r}}{\partial \dot{\mathbf{r}}^T} = \frac{1}{r} \begin{bmatrix} \dot{x} \\ \dot{y} \\ \dot{z} \end{bmatrix} \quad (5-69)$$

$$\frac{\partial \dot{r}_d}{\partial \mathbf{r}^T} = \frac{\dot{\theta}_h^2}{\dot{r}_d} \begin{bmatrix} x \\ y \\ z \end{bmatrix}, \quad \frac{\partial \dot{r}_d}{\partial \dot{\mathbf{r}}^T} = \begin{bmatrix} 0 \\ 0 \\ 0 \end{bmatrix} \quad (5-70)$$

### 5-2-2 大氣擾動加速度與空氣阻力係數間的關係

$\mathbf{C}_{AD}$  矩陣為計算大氣擾動加速度對空氣阻力係數  $C_D$  的偏微所產生的矩陣。今採用簡單模式，將衛星各部空氣阻力係數綜合視為  $C_D$ 。因為空氣阻力係數  $C_D$  與大氣擾動加速度為明顯相關函數關係，直接微分可得：

$$\mathbf{C}_{AD} = \frac{\partial \ddot{\mathbf{R}}_D}{\partial C_D} = -\frac{1}{2} \rho \frac{A_{sat} \cos \alpha}{m} v_{rel} \mathbf{v}_{rel} \quad (5-71)$$



### 5-3 經驗公式

經驗加速度，是衛星位置、速度、經驗係數的函數， $\mathbf{A}_{EC}$ 、 $\mathbf{B}_{EC}$ 、 $\mathbf{C}_{EC}$  分別是經驗加速度對衛星位置、速度、經驗係數的偏微矩陣。要解得 (4-49)、(4-50)、(4-51) 式中慣性座標下經驗加速度對衛星位置、速度、經驗係數的偏微，必須先解得衛星旋轉座標下經驗加速度對衛星位置、速度、經驗係數的偏微，再行座標轉換得之。將衛星旋轉座標下經驗加速度對衛星位置、速度的偏微表示為：

$$\frac{\partial \mathbf{a}_{ec}}{\partial \mathbf{r}^T, \partial \dot{\mathbf{r}}^T} = \begin{bmatrix} \frac{\partial S_r}{\partial \mathbf{r}^T, \partial \dot{\mathbf{r}}^T} \\ \frac{\partial S_a}{\partial \mathbf{r}^T, \partial \dot{\mathbf{r}}^T} \\ \frac{\partial S_c}{\partial \mathbf{r}^T, \partial \dot{\mathbf{r}}^T} \end{bmatrix}_{3 \times 3} \quad (5-72)$$

式中，

$$\begin{aligned} \frac{\partial S_r}{\partial \mathbf{r}^T, \partial \dot{\mathbf{r}}^T} &= -a_1 \sin u \frac{\partial u}{\partial \mathbf{r}^T, \partial \dot{\mathbf{r}}^T} + a_2 \cos u \frac{\partial u}{\partial \mathbf{r}^T, \partial \dot{\mathbf{r}}^T} \\ &= (-a_1 \sin u + a_2 \cos u) \frac{\partial u}{\partial \mathbf{r}^T, \partial \dot{\mathbf{r}}^T} \end{aligned} \quad (5-73)$$

其中，  $u = \sqrt{\frac{GM}{a^3}} = \omega + f = \tan^{-1} \left( \frac{hz}{yh_1 - xh_2} \right)$  (5-74)

$$\begin{aligned} h_1 &= y\dot{z} - \dot{y}z \\ h_2 &= z\dot{x} - \dot{z}x \\ h_3 &= \dot{y}x - \dot{x}y \\ h &= (h_1^2 + h_2^2 + h_3^2)^{1/2} \end{aligned} \quad (5-75)$$

由於要解得  $\frac{\partial S_r}{\partial \mathbf{r}^T, \partial \dot{\mathbf{r}}^T}$ ，必須先進行  $\frac{\partial u}{\partial \mathbf{r}^T, \partial \dot{\mathbf{r}}^T}$  的求解，利用  $\tan^{-1}$  函數的導數公式可得：

$$\frac{\partial u}{\partial \mathbf{r}^T, \partial \dot{\mathbf{r}}^T} = \frac{1}{1 + \left( \frac{hz}{yh_1 - xh_2} \right)^2} \cdot \frac{\partial \left( \frac{hz}{yh_1 - xh_2} \right)}{\partial \mathbf{r}^T, \partial \dot{\mathbf{r}}^T} \quad (5-76)$$

其中，

$$\frac{\partial \left( \frac{hz}{yh_1 - xh_2} \right)}{\partial \mathbf{r}^T, \partial \dot{\mathbf{r}}^T} = \frac{\frac{\partial(hz)}{\partial \mathbf{r}^T, \partial \dot{\mathbf{r}}^T} \cdot (yh_1 - xh_2) - \frac{\partial(yh_1 - xh_2)}{\partial \mathbf{r}^T, \partial \dot{\mathbf{r}}^T} \cdot (hz)}{(yh_1 - xh_2)^2} \quad (5-77)$$

$$\begin{aligned} \frac{\partial(hz)}{\partial \mathbf{r}^T} &= \frac{\partial[(h_1^2 + h_2^2 + h_3^2)^{1/2} \cdot z]}{\partial \mathbf{r}^T} \\ &= \frac{\partial \left\{ \left[ (y\dot{z} - \dot{y}z)^2 + (z\dot{x} - \dot{z}x)^2 + (\dot{y}x - \dot{x}y)^2 \right]^{1/2} \cdot z \right\}}{\partial \mathbf{r}^T} \end{aligned} \quad (5-78)$$

$$\begin{aligned}
\frac{\partial(hz)}{\partial \dot{\mathbf{r}}^T} &= \frac{\partial[(h_1^2 + h_2^2 + h_3^2)^{1/2} \cdot z]}{\partial \dot{\mathbf{r}}^T} \\
&= \frac{\partial\left\{[(y\dot{z} - \dot{y}z)^2 + (z\dot{x} - \dot{z}x)^2 + (jx - \dot{x}y)^2]^{1/2} \cdot z\right\}}{\partial \dot{\mathbf{r}}^T} \\
&= \begin{bmatrix} \frac{1}{h} \cdot z[(\dot{x}z^2 - \dot{z}zx) + (\dot{x}y^2 - \dot{y}xy)] \\ \frac{1}{h} \cdot z[(\dot{y}z^2 - \dot{z}yz) + (jx^2 - \dot{x}xy)] \\ \frac{1}{h} \cdot z[(\dot{z}y^2 - \dot{y}yz) + (\dot{z}x^2 - \dot{x}xz)] \end{bmatrix}
\end{aligned} \tag{5-79}$$

$$\begin{aligned}
\frac{\partial(yh_1 - xh_2)}{\partial \dot{\mathbf{r}}^T} &= \frac{\partial[y(y\dot{z} - \dot{y}z) - x(z\dot{x} - \dot{z}x)]}{\partial \dot{\mathbf{r}}^T} = \begin{bmatrix} 2\dot{z}x - \dot{x}z \\ 2y\dot{z} - \dot{y}z \\ -y\dot{y} - x\dot{x} \end{bmatrix} \\
&= \begin{bmatrix} \frac{1}{2} \cdot \frac{1}{h} \cdot z[(-2z\dot{x}\dot{z} + 2x\dot{z}^2) + (2x\dot{y}^2 - 2y\dot{x}\dot{y})] + 0 \\ \frac{1}{2} \cdot \frac{1}{h} \cdot z[(-2y\dot{z}^2 + 2z\dot{y}\dot{z}) + (-2x\dot{x}\dot{y} + 2y\dot{x}^2)] + 0 \\ \left\{ \frac{1}{2} \cdot \frac{1}{h} \cdot z[(-2y\dot{y}\dot{z} + 2z\dot{y}^2) + (2z\dot{x}^2 - 2x\dot{x}\dot{z})] \right\} + [(y\dot{z} - \dot{y}z)^2 + (z\dot{x} - \dot{z}x)^2 + (jx - \dot{x}y)^2]^{1/2} \end{bmatrix} \\
&= \begin{bmatrix} \frac{1}{h} \cdot z[(-z\dot{x}\dot{z} + x\dot{z}^2) + (xy^2 - y\dot{x}\dot{y})] \\ \frac{1}{h} \cdot z[(-y\dot{z}^2 + z\dot{y}\dot{z}) + (y\dot{x}^2 - x\dot{x}\dot{y})] \\ \frac{1}{h} \cdot z[(-y\dot{y}\dot{z} + z\dot{y}^2) + (z\dot{x}^2 - x\dot{x}\dot{z})] + [(y\dot{z} - \dot{y}z)^2 + (z\dot{x} - \dot{z}x)^2 + (jx - \dot{x}y)^2]^{1/2} \end{bmatrix}
\end{aligned} \tag{5-80}$$

$$\begin{aligned}
\frac{\partial(yh_1 - xh_2)}{\partial \dot{\mathbf{r}}^T} &= \frac{\partial[y(y\dot{z} - \dot{y}z) - x(z\dot{x} - \dot{z}x)]}{\partial \dot{\mathbf{r}}^T} \\
&= \begin{bmatrix} -xz \\ -yz \\ y^2 + x^2 \end{bmatrix}
\end{aligned} \tag{5-81}$$

綜合 (5-76)、(5-77)、(5-78)、(5-80) 式，可解得  $\frac{\partial S_r}{\partial \mathbf{r}^T}$  為：

$$\begin{aligned} \frac{\partial S_r}{\partial \mathbf{r}^T} &= (-a_1 \sin u + a_2 \cos u) \cdot \frac{1}{1 + \left(\frac{hz}{yh_1 - xh_2}\right)^2} \cdot \frac{\partial\left(\frac{hz}{yh_1 - xh_2}\right)}{\partial \mathbf{r}^T} \\ &= \frac{(-a_1 \sin u + a_2 \cos u)}{1 + \left(\frac{hz}{yh_1 - xh_2}\right)^2} \cdot \left\{ \frac{(yh_1 - xh_2) \cdot \frac{1}{h} \cdot \begin{bmatrix} z[(xz^2 - zxz) + (xy^2 - yxy)] \\ z[(yz^2 - zy^z) + (yx^2 - xxy)] \\ z[(zy^2 - yyz) + (zx^2 - xxz)] + h \end{bmatrix}}{(yh_1 - xh_2)^2} - \frac{hz \cdot \begin{bmatrix} 2xz - zx \\ 2yz - yz \\ -y\dot{y} - x\dot{x} \end{bmatrix}}{(yh_1 - xh_2)^2} \right\} \end{aligned} \quad (5-82)$$

綜合 (5-76)、(5-77)、(5-79)、(5-81) 式，可解得  $\frac{\partial S_r}{\partial \mathbf{r}^T}$  為：

$$\begin{aligned} \frac{\partial S_r}{\partial \mathbf{r}^T} &= (-a_1 \sin u + a_2 \cos u) \cdot \frac{1}{1 + \left(\frac{hz}{yh_1 - xh_2}\right)^2} \cdot \frac{\partial\left(\frac{hz}{yh_1 - xh_2}\right)}{\partial \mathbf{r}^T} \\ &= \frac{(-a_1 \sin u + a_2 \cos u)}{1 + \left(\frac{hz}{yh_1 - xh_2}\right)^2} \cdot \left\{ \frac{(yh_1 - xh_2) \cdot \frac{1}{h} \cdot \begin{bmatrix} z[(\dot{x}z^2 - \dot{z}zx) + (\dot{x}y^2 - \dot{y}xy)] \\ z[(\dot{y}z^2 - \dot{z}yz) + (\dot{y}x^2 - \dot{x}xy)] \\ z[(\dot{z}y^2 - \dot{y}yz) + (\dot{z}x^2 - \dot{x}xz)] \end{bmatrix}}{(yh_1 - xh_2)^2} - \frac{hz \cdot \begin{bmatrix} -xz \\ -yz \\ y^2 + x^2 \end{bmatrix}}{(yh_1 - xh_2)^2} \right\} \end{aligned} \quad (5-83)$$

同 (5-73) ~ (5-83) 式推導程序，計算可得：

$$\begin{aligned} \frac{\partial S_a}{\partial \mathbf{r}^T, \partial \dot{\mathbf{r}}^T} &= -b_1 \sin u \frac{\partial u}{\partial \mathbf{r}^T, \partial \dot{\mathbf{r}}^T} + b_2 \cos u \frac{\partial u}{\partial \mathbf{r}^T, \partial \dot{\mathbf{r}}^T} \\ &= (-b_1 \sin u + b_2 \cos u) \frac{\partial u}{\partial \mathbf{r}^T, \partial \dot{\mathbf{r}}^T} \end{aligned} \quad (5-84)$$

$$\begin{aligned} \frac{\partial S_c}{\partial \mathbf{r}^T, \partial \dot{\mathbf{r}}^T} &= -c_1 \sin u \frac{\partial u}{\partial \mathbf{r}^T, \partial \dot{\mathbf{r}}^T} + c_2 \cos u \frac{\partial u}{\partial \mathbf{r}^T, \partial \dot{\mathbf{r}}^T} \\ &= (-c_1 \sin u + c_2 \cos u) \frac{\partial u}{\partial \mathbf{r}^T, \partial \dot{\mathbf{r}}^T} \end{aligned} \quad (5-85)$$

公式(4-51)為慣性座標下經驗加速度對經驗係數的偏微，其中 $\frac{\partial \mathbf{a}_{ec}}{\partial \mathbf{P}_e^T}$ 為衛星旋轉座標下經驗加速度對經驗係數的偏微，矩陣內各元素表示如下：

$$\frac{\partial \mathbf{a}_{ec}}{\partial \mathbf{P}_e^T} = \begin{bmatrix} 1 & \cos u & \sin u & 0 & 0 & 0 & 0 & 0 & 0 \\ 0 & 0 & 0 & 1 & \cos u & \sin u & 0 & 0 & 0 \\ 0 & 0 & 0 & 0 & 0 & 0 & 1 & \sin u & \cos u \end{bmatrix}_{3 \times 9} \quad (5-86)$$

其中， $\mathbf{P}_e = [a_0 \ a_1 \ a_2 \ b_0 \ b_1 \ b_2 \ c_0 \ c_1 \ c_2]^T$

